

## تحلیل ساختاری درونهشته عنبران، شمال غرب کوه‌های تالش

علی یساقی\*، آذین ایمان‌پور نمین؛  
دانشگاه تربیت مدرس تهران، بخش زمین‌شناسی، گروه تکتونیک

### چکیده

درونهشته عنبران در شمال غرب کوه‌های تالش و شمال غرب شهرستان نمین، در استان اردبیل قرار دارد. در این درونهشته سنگ‌های قدیمی‌تر پالئوزوئیک به‌وسیله نهشته‌های جوان ترکرتاسه و ائوسن احاطه شده است. برای شناسایی ساختار درونهشته عنبران و دستیابی به الگوی دگرشکلی آن، ویژگی‌های هندسی و جنبشی تمامی ساختارهای آن، که در این پژوهش برای اولین بار برداشت شده، تحلیل شده است. برای این تحلیل‌ها از عناصر موجود در پهنه‌های گسلی مانند: خطوط لغزشی، چین‌های در ارتباط با گسل و ساختارهای C-S استقاده شده است. نتایج این بررسی‌ها نشان می‌دهد، ساختارهای اصلی درونهشته، که عمدتاً در بخش‌های شمالی و جنوبی آن مرکز شده‌اند، بهترین شامل گسل‌های معکوس عنبران و RF1 هستند. این گسل‌های معکوس، به عنوان گسل‌های کنترل کننده درونهشته با شبیب بیش از ۵۰ درجه، موجب رانده شدن واحدهای ولکانیکی ائوسن و سنگ آهک‌های کرتاسه سلطانیه، در بخش مرکزی درونهشته از دو سو بر روی واحدهای ولکانیکی ائوسن و سنگ آهک‌های کرتاسه شده‌اند و با ایجاد ساختار بالاجسته (pop-up)، باعث ایجاد مورفولوژی کنونی آن به صورت درونهشته شده‌اند. شبیب زیاد گسل عنبران و وجود نهشته‌های کرتاسه محدود به فرادیواره آن، می‌تواند شاهدی از فعالیت وارون شدگی زمین‌ساختی آن باشد. بنا بر این درونهشته عنبران ساختاری بالاجسته است که در فرادیواره گسل وارون شده عنبران و گسل پس راند فرادیواره‌ای آن (RF1) به وجود آمده است.

### مقدمه

منطقه برخوردي ورق‌های قاره‌اي عربى- اوراسيا، در بخش شمالی فلات ايران و حاشيه جنوبي دريائى خزر، ناحيه‌اي زمین‌ساختی فعال و پويا به‌شمار می‌آيد که رشته کوه البرز- تالش با فرم سینوسی و طول تقریبی ۲۰۰۰ کيلومتر، بخشی از اين پهنه برخوردي است که از منطقه قفقاز در آذربایجان تا کوه‌های پاراپامیوس در افغانستان کشیده شده است (شکل ۱). در رابطه با هندسه ساختاري البرز، بر اساس بررسی‌های صورت گرفته در بخش‌های مختلف، آن مدل‌های متقاوتي ارائه شده است. در مدل استوکلين<sup>۱</sup> (۱۹۷۴)، که البرز به عنوان يك آنتى‌کلينوريوم حاشيه‌اي بررسی شده است، شکل‌گيری ارتفاعات شرقی غربی البرز را با عمل‌كرد رانگي‌های رو واژگان کليدي: کوه‌های تالش، درونهشته عنبران، ساختار بالاجسته، وارون شدگی زمین‌ساختی وارون شدگی زمین‌ساختی: کوه‌های تالش، درونهشته عنبران، ساختار بالاجسته، وارون شدگی زمین‌ساختی

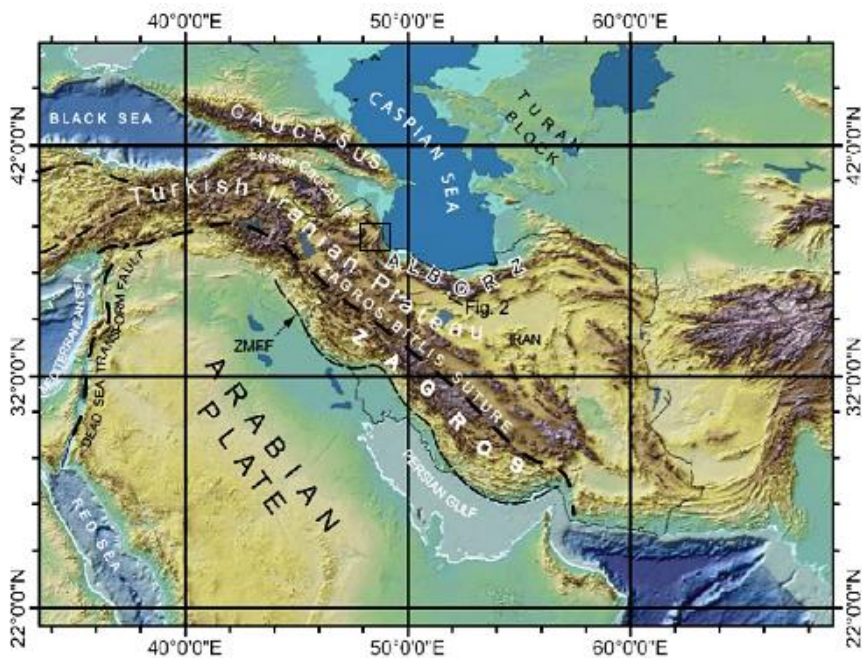
پذيرش ۹۲/۱۲/۱۲

دریافت ۹۱/۶/۱۵

۱. Stocklin

\*نويسنده مسئول Yassaghi@modares.ac.ir

به شمال و جنوب در ارتباط دانسته و عمق این راندگی‌ها را تا پی‌سنگ در نظر گرفته است و لذا زمین‌ساخت ستبر پوسته را برای البرز معرفی می‌کند. مدل ساختاری علوی (۱۹۹۶) نیز ساختارهای راندگی و دوپلکسی را به عنوان ساختار اصلی شکل دهنده تاقفرم انباشتی البرز مطرح کرده است.



شکل ۱. نقشه کمریند آلب-هیمالیا و موقعیت رشته کوه البرز- تالش در این کمریند برگرفته از جویست<sup>۱</sup> و همکاران (۲۰۰۶) منطقه پژوهش در تالش با مربع مشخص شده است

تفاوتش اصلی مدل‌های استوکلین (۱۹۷۴) و علوی (۱۹۹۶) در میزان دخالت پی‌سنگ در تغییر شکل‌های اعمال شده است. چرا که علوی زمین ساخت نازک پوسته را برای البرز پیشنهاد داده است. آلن<sup>۲</sup> (۲۰۰۳) کوتاه‌شدنگی مایل را برای البرز مطرح می‌کند، که بر اساس آن استرین در منطقه به دو مؤلفه امتداد لغز چپ بر به موازات رشته کوه و راندگی عمود بر رشته کوه تقسیم می‌شود. از زمان ارائه مدل استوکلین (۱۹۷۴) تا ۲۰۰۱ که بار دیگر پی‌سنگی بودن دگرشکلی‌های البرز مطرح شود، مدل‌های ساختاری ارائه شده بر وجود افق‌های جدایشی در البرز اشاره داشتند. نظریه ستبر پوسته بودن زمین‌ساخت البرز در پژوهش‌های یساقی (۲۰۰۱) و زانچی<sup>۳</sup> و همکاران (۲۰۰۶) بار دیگر مطرح شد و با بررسی ساختارهای بالاجسته در منطقه و شواهدی از فعالیت معکوس گسل‌هایی با سازوکار اولیه نرم‌افزار مدل زمین‌ساخت برگشتی را برای البرز مطرح کردند. تحلیل‌های ساختاری منطقه‌ای مختلفی در بخش‌های دیگر البرز انجام گرفته است که مدل‌های ساختاری حاصل از آن‌ها مشابه بوده است و به فعالیت راندگی‌های عمدۀ و ایجاد پی‌سی‌راندۀایی در آن‌ها دلالت دارد که باعث بالا آمدگی واحدهای سنگی قدیمی‌تر و رانش آن‌ها بر روی واحدهای جوان‌تر به صورت درونهشته شده‌اند. مثالی از این درونهشته ساختار بالاجسته طالقان در البرز مرکزی است (یساقی و معنی‌پور ۲۰۰۸) در بخش شمال‌غرب

ارتفاعات تالش درونهشته‌ای وجود دارد که در آن واحدهای قدیمی‌تر پرکامبرین بهوسیله واحدهای جوان‌تر ائوسن و کرتاسه احاطه شده است (شکل ۲)، که در این پژوهش درونهشته عنبران نامیده شده و چگونگی تشکیل چنین درونهشته‌ای بررسی و تحلیل شده است.

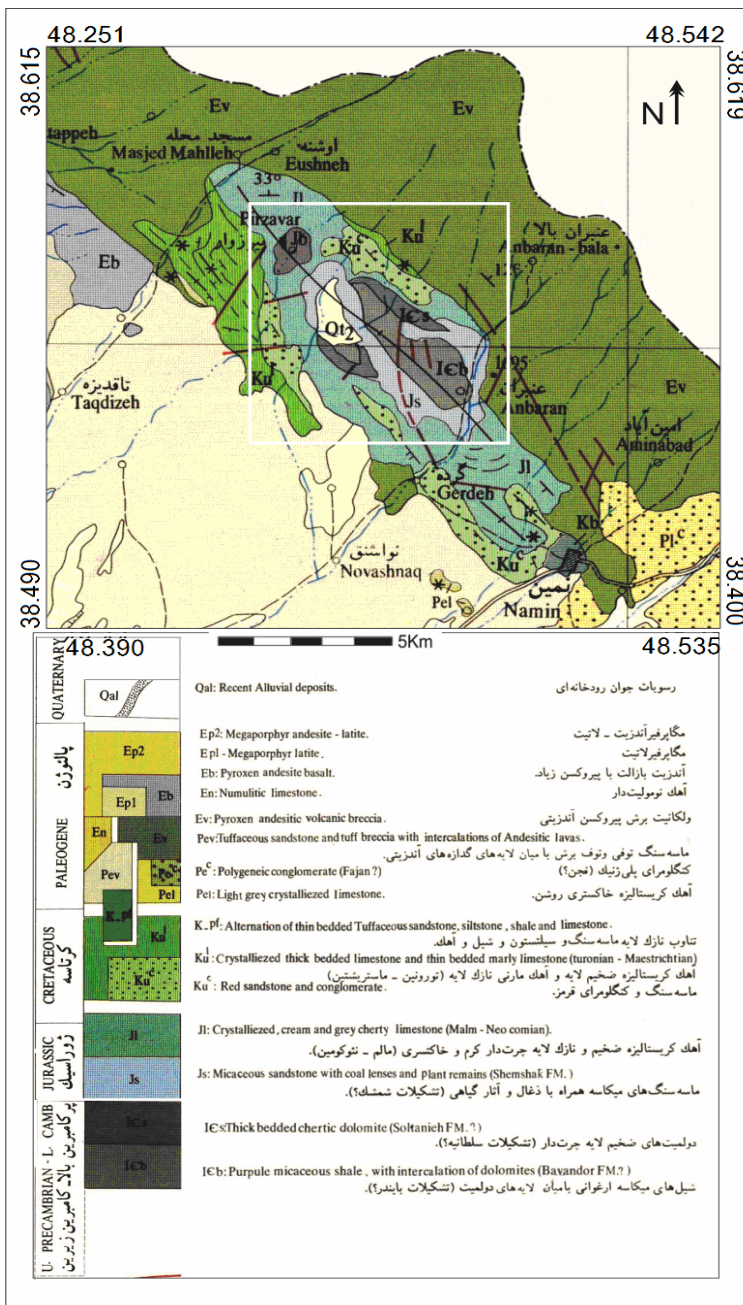
### هندسه ساختاری درونهشته عنبران

واحدهای سنگ چینهای درونهشته عنبران در گستره سنی از پرکامبرین و پالئوزوئیک تا ائوسن قرار گرفته‌اند. قدیمی‌ترین واحد سنگی که در بخش مرکزی درونهشته بروزنزد دارد واحدهای شیل ارغوانی و ماسه سنگ، آهک و میان لایه‌های دولومیتی زرد رنگ چرت است که می‌توان آن را معادل مجموعه قدیمی بایندر در نظر گرفت. جوان‌ترین واحدهای رخنمون‌دار در منطقه واحدهای آذرآواری ائوسن و نهشته‌های آبرفتی کواترنر هستند که در حاشیه ساختار بهصورت چشمگیری رخنمون دارند (افتخارنژاد ۱۳۷۹) (شکل ۲). برای تحلیل جنبشی گسل‌ها از شواهد ساختاری موجود در پهنه‌های گسلی در مقیاس‌های مزوسکوپی و ماکروسکوپی شامل: ساختار S-C، خشنگ‌ها و پله‌های گسلی و چین‌خوردگی‌های پهنه گسلی استفاده شده است. دو گسل عمدۀ عنبران در شمال و RF1 در جنوب بهعنوان ساختارهای اصلی درونهشته هستند که در سه برش ساختاری تحلیل و بررسی شده‌اند (شکل ۳). علاوه بر ساختارهای اصلی و مؤثر بر دگر شکلی منطقه گسل‌های نرمال و معکوس با مؤلفه‌های امتداد لغز و همچنین چین‌های مزوسکوپی، شناسایی و تحلیل شده‌اند (شکل‌های ۳ و ۴).

#### ۱. گسل عنبران

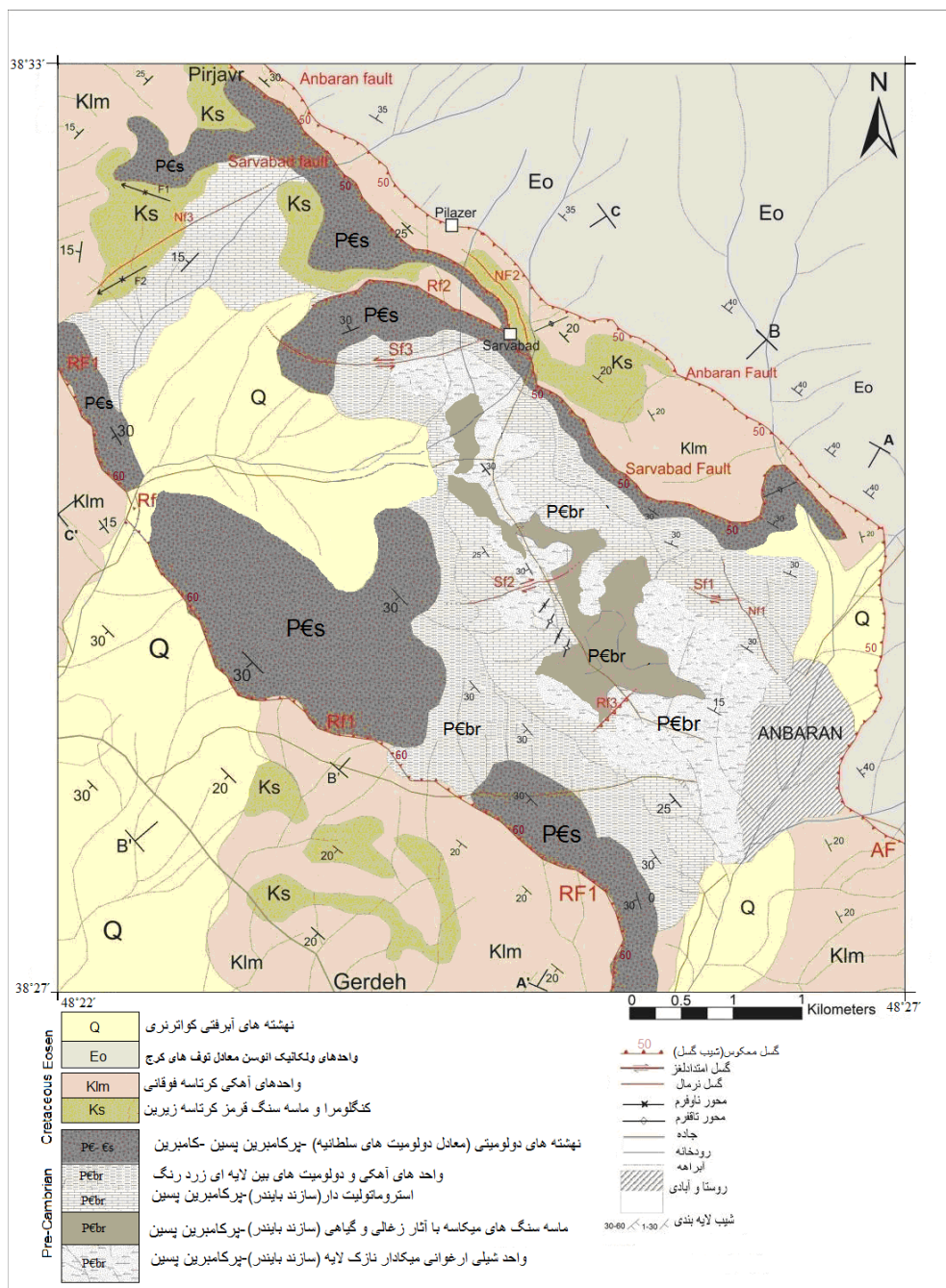
گسل عنبران در منطقه بررسی شده با اثر سطحی به طول ۱۰ کیلومتر و روند عمومی شمال غرب-جنوب شرق، مرز شمال شرقی درونهشته عنبران را تشکیل داده است (شکل ۳). گسل عنبران بهصورت شاخص مرز بین واحدهای آهکی کرتاسه و آذرآواری ائوسن را تشکیل می‌دهد. واحدهای آذرآواری در فرودیواره گسل با شبی بهسمت شمال شرق تا مناطق حاشیه دریای خزر ادامه دارند. واحدهای آهکی کرتاسه نیز، که بهصورت ناپیوستگی زاویدار بر روی واحدهای دولومیتی سلطانیه نشسته‌اند در فرودیواره گسل عنبران بر روی واحدهای ولکانیکی رانده شده‌اند (شکل‌های ۴ و ۵).

در این بررسی ویژگی‌های هندسی و جنبشی گسل عنبران در سه برش ساختاری A-A'، B-B' و C-C' بررسی و تحلیل شده است. در برش A-A' گسل عنبران با شبی ۵۰ درجه به سمت جنوب‌غرب قرار گرفته و با سازوکار معکوس با مؤلفه امتداد لغز راستگرد باعث رانده شدن واحدهای فرودیواره‌ای شده است. برای تحلیل هندسی و جنبشی گسل عنبران در این برش از شواهد موجود در پهنه گسل شامل ساختارهای لنزی و فابریک‌های صفحه‌ای S-C و مشاهده رگه‌های کلسیتی به موازات صفحه گسل استفاده شده است که در پهنه برشی در حدود ۵۰ تا ۶۰ متر قابل برداشتند (شکل ۴) (جدول ۱).



شکل ۲. برونزد واحدهای قدیمی پرکامبرین در میان واحدهای جوان انوسن برگرفته از نقشه زمین‌شناسی اردبیل، کادر مستطیل موقعیت شکل ۳ را مشخص می‌کند (۱۳۷۹:۱؛ افخار نژاد)

انوسن در برش B'-B عمود بر مسیر جاده عنبران به سروآباد نیز قابل برداشت است. در برش C-C'، شرق روستای سروآباد نیز گسل عنبران با شیب ۵۰ درجه به سمت جنوب‌غرب قرار گرفته است و با سازوکار معکوس و مؤلفه امتدادگز راستگرد باعث رانده شدن واحدهای آهکی کرتاسه و تشکیل تاقفرم فرادیوارهای با اثر سطح محوری در راستای شمال‌غرب جنوب‌شرق شده است. بررسی‌های ساختاری برای گسل عنبران در برش‌های مذکور نیز بر اساس شواهد پهنه برخی نظیر خش لغزها، پله‌های گسلی و ساختارهای c و s صورت گرفته است

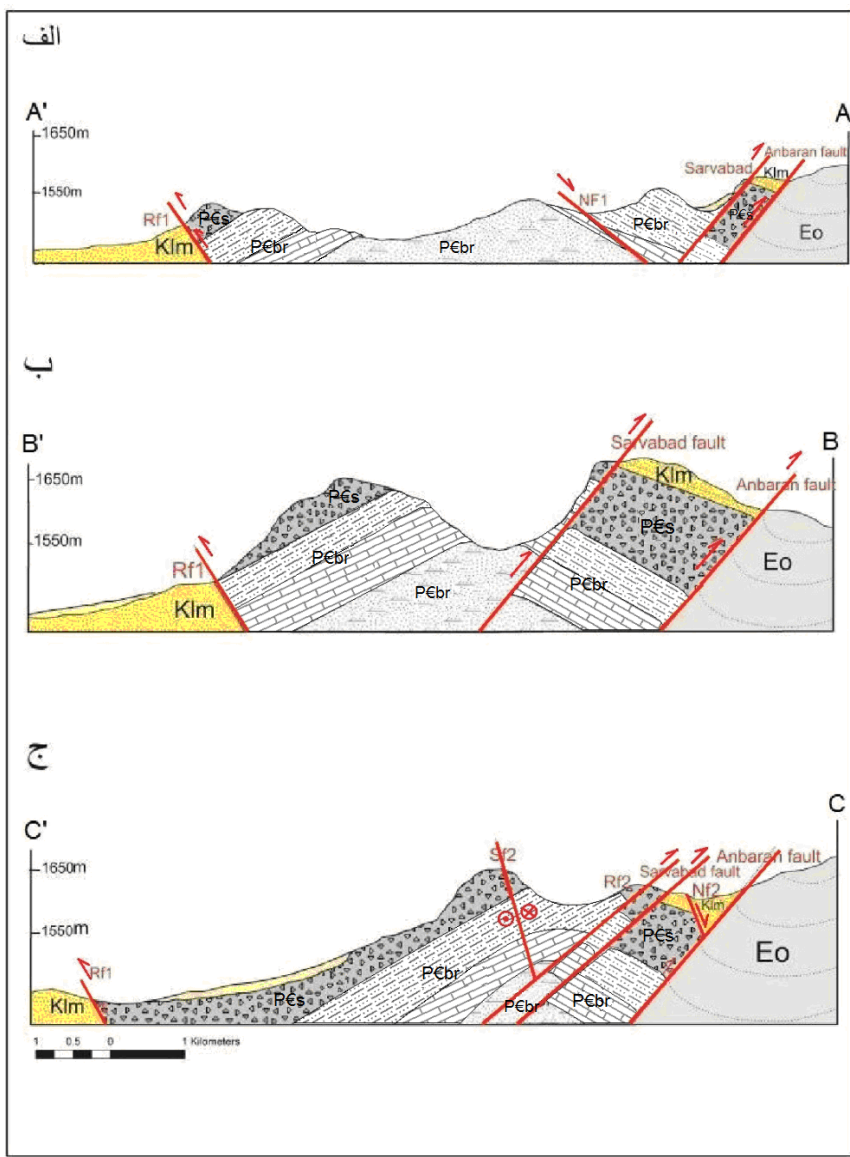


شکل ۳. نقشه ساختاری بخش مرکزی درونهشته عنبران. برش‌های ساختاری A-A', B-B', C-C' در شکل ۴ ارائه شده است

جدول ۱. مشخصات هندسی و جنبشی گسل عنبران در برش A-A'

نام ساختار	موقعیت سطح گسل	موقعیت صفحه c	موقعیت صفحه s	موقعیت صفحه e	سوی حرکت فریدیواره	سازوکار گسل
گسل عنبران	۵۰/۲۵۰	۴۵/۲۶۰	۷۰/۲۳۰	N۲۰	معکوس با مؤلفه امتداد لغز راستگرد	

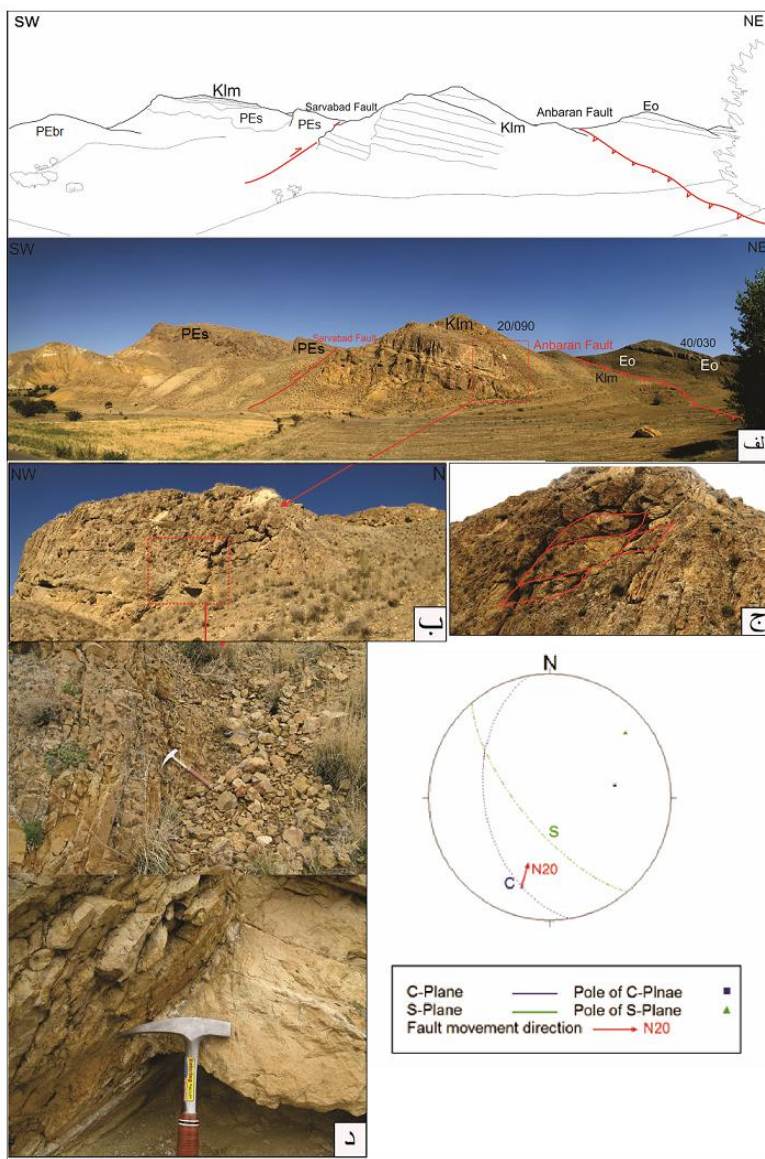
در این برش واحدهای آهکی پلازیک کرتاسه در فریدیواره گسل عنبران بر روی واحدهای ولکانیک اثوسن رانده شده‌اند (شکل ۵ الف). امتداد یکنواخت با شیب ثابت و راندگی واحدهای کرتاسه بر روی واحدهای ولکانیک‌های.



شکل ۴. (الف) برش عرضی A-A'، (ب) برش عرضی B-B'، (ج) برش عرضی C-C'، برای مشاهده مسیر برش‌ها و چینه‌نگاری واحدهای سنگی در برش‌ها به شکل ۳ مراجعه شود.

## ۲. گسل سروآباد

گسل سروآباد با روند شمال‌غرب جنوب‌شرق به موازات گسل عنبران و در فرادیواره آن قرار گرفته است (شکل‌های ۳ و ۴). طول اثر سطحی آن تقریباً ۶ کیلومتر است و در امتداد خود به سمت شمال دچار انحراف مسیر شده و به دو شاخهٔ فرعی تقسیم می‌شود. گسل سروآباد مرز بین واحدهای آهکی کرتاسه و دولومیت‌های سلطانیه را تشکیل داده است. واحدهای آهکی کرتاسه در بخش شرقی منطقه با گسل عنبران برش خورده و بر روی واحدهای ائوسن رانده شده‌اند در فرادیواره گسل عنبران، فعالیت گسل رانده سروآباد باعث رانده شدن واحدهای دولومیتی صخره‌ساز سلطانیه بر روی واحدهای آهکی کرتاسه شده است (شکل ۴ ج).



شکل ۵. (الف) پهنه گسلی عنبران و تصویر شماتیک آن در برش A-A، (ب) پهنه برشی با زون خرد شده و لنزهای گسلی، (ج) لنزهای گسلی حاصل تلاقی ساختارهای S و C در پهنه گسلی، (د) رگه کلسیتی که به موازات صفحه گسل تبلور یافته، (ه) تصویر استریوگرافی از تحلیل هندسی و جنبشی گسل عنبران

ویژگی‌های هندسی و جنبشی گسل سروآباد نیز در این پژوهش در سه برش عرضی A-A' و B-B' و C-C' (شکل ۴) بررسی و تحلیل شده است. در برش A-A' که در محل دره خان بلاغی گسل سروآباد را قطع می‌کند پهنۀ برشی در حدود ۳۰ تا ۴۰ متر است و شامل نشانگر‌های فعالیت گسل نظیر ساختارهای S-C و لنزی ناشی از آن‌هاست. که با استفاده از این نشانگرها و نتایج حاصل از تحلیل این داده‌ها سازوکار گسل در این پهنۀ بهصورت معکوس با مؤلفه امتداد لغز راستگرد بهدست آمده است. شب گسل در این برش ۵۰ درجه بهسمت غرب و جنوب‌غرب است و با سازوکار معکوس واحدهای دولومیتی و آهکی تیرمنگ سازند سلطانیه را در فرادیواره بالارانده و بر روی واحدهای آهکی نازک لایه کرتاسه قرار داده است (شکل‌های ۳ و ۴ الف، جدول ۲).

جدول ۲. مشخصات هندسی گسل سروآباد در برش A-A'

نام ساختار	موقعیت سطح گسل	نوع ساختار به کار برده شده	سوی حرکت فرادیواره	سازوکار گسل
گسل سروآباد	۵۰/۲۲۰	ناقرم فرادیواره‌ای، ساختار لنزی، صفحات S و C	N30 N24	معکوس با مؤلفه کوچک امتدادلغز راستگرد

فعالیت معکوس گسل سروآباد در میان واحدهای دولومیتی معادل سازند سلطانیه باعث تشکیل ناقفرم فرادیواره‌ای با امتداد اثر سطح محوری شمال شرق جنوب‌غرب شده است که مطالعه و بررسی ویژگی‌های هندسی ناقفرم مؤید تحلیل‌های هندسی و جنبشی بهدست آمده بر اساس نشانگرهای پهنه گسلی است (شکل ۶ و جدول ۳).

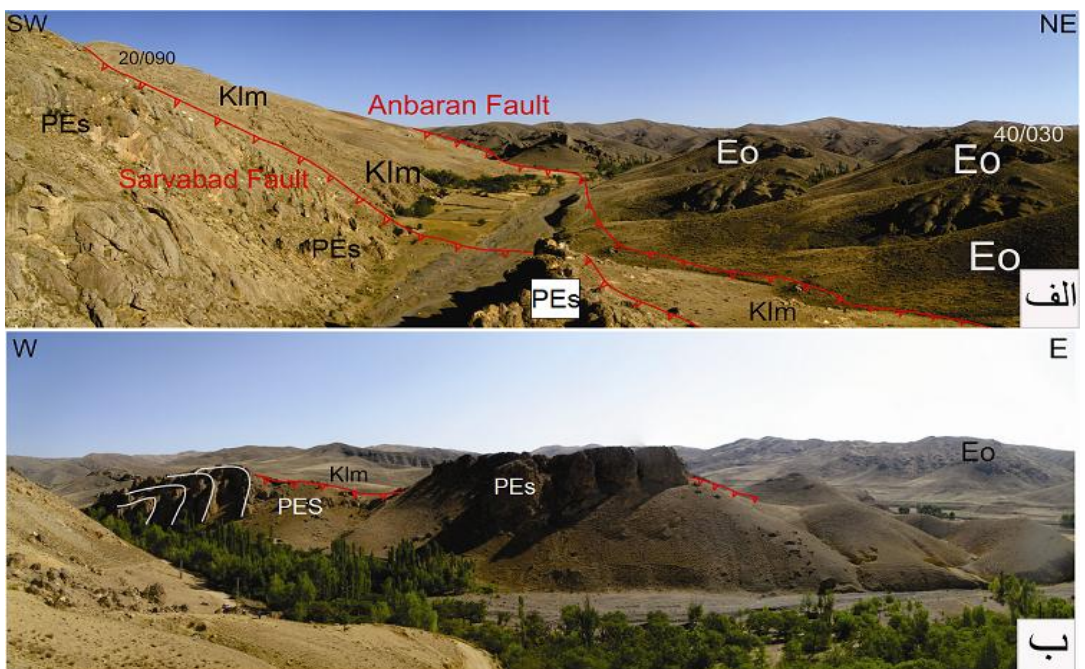
جدول ۳. تحلیل هندسی ناقفرم فرادیواره‌ای گسل سروآباد در برش A-A'

نام ساختار	پهلوی شمالی	پهلوی جنوبی	میانگین محور	میانگین سطح محوری	زاویه بین دو پهلوی چین
ناقرم فرادیواره‌ای گسل سروآباد	۷۰/۳۱۰	۸۰/۱۰۰	۴۲/۰۲۰	۸۴/۲۹۶	۷۰

گسل سروآباد از بخش شرقی روستای عنبران تا بخش شرقی روستای سروآباد به طول تقریبی ۲/۵ کیلومتر ادامه دارد. پهنه گسلی سروآباد در برش B-B' بخش شرقی سروآباد در حدود ۴۰-۳۰ متر است و شامل نشانگرهای فعالیت گسل نظیر ساختارهای S-C و لنزهای حاصل است که در میان واحدهای دولومیتی فرادیواره قابل برداشت هستند. در شرق روستای سروآباد و در برش C-C' نیز عمل کرد گسل سروآباد باعث رانده شدن واحدهای دولومیتی سازند سلطانیه بر روی واحدهای آهکی کرتاسه شده است، که قرار گرفتن این سازندها در ارتفاعات تقریبی ۲۰۰۰ متری، باعث چهره صخره‌ای ناحیه در حاشیه شرقی ساختار و به موازات محور درونهشته شده است (شکل ۳ و ۴ ج).

### ۳. گسل RF1

در بخش غربی درونهشته عنبران و در میان واحدهای شیلی و آهکی معادل سازند پرکامبرین بایندر، گسل RF1 با روند شمال‌غرب-جنوب شرق و پهنه برشی ۵-۱۰ متری قرار گرفته است (شکل ۳ و ۴). طول اثر سطحی رخنمون یافته از گسل کمتر از یک کیلومتر است و رخنمون آن در ادامه مسیر بهدلیل فرسایش و پوشیده شدن بارسوبات آبرفتی جوان واحدها از بین رفته است. برای تحلیل سازوکار و تعیین سوی حرکت فرادیواره در آن از نشانگرهای موجود در پهنه گسل، نظیر خش لغزها و پله‌های گسلی استفاده شده است. گسل RF1 با سازوکار معکوس با شبیب حدود ۶۰ درجه به سمت شمال شرقی همراه با مؤلفه امتدادی راستگرد است (جدول ۴).



شکل ۶. الف) پهنه گسلی سروآباد در برش A-A'، راندگی واحدهای دولومیتی لار بر روی آهکهای کرتاسه، ب) تاقفرم فرادیوارهای و موقعیت آن نسبت به صفحه گسلی، Eo : ولکانیک های انوسن، Klm: آهک های کرتاسه، Is: دولومیت های سلطانیه. Ib: واحدهای شیلی و دولومیتی بایندر

جدول ۴. خصوصیات هندسی و جنبشی گسل RF1 در برش A-A'

سازوکار گسل	سوی حرکت فرادیواره	نوع ساختار پهکار برده شده	موقعیت خش لغز	موقعیت سطح گسل	گسل RF1
معکوس با مؤلفه امتداللغز راستگرد	N170	خش لغزهای روی سطح گسل	۴۰/۳۵۰	۶۰/۰۵۰	گسل RF1

### چین‌خوردگی‌های منطقه پژوهش

در بخش غربی درونهشته و در میان آهکهای کرتاسه، دو چین‌خوردگی ناوفرم منفرد برداشت شده است (شکل ۳). زاویه بین یالی در این دو چین زیاد و در حدود ۱۳۰ درجه است که در تقسیم‌بندی فلیوتی<sup>۱</sup> جز چین‌های باز محسوب می‌شوند (جدول ۵). علاوه بر این دو چین‌خوردگی، در بخش مرکزی درونهشته عنبران، در امتداد جاده عنبران به سروآباد، در میان نهشته‌های عمدتاً شیلی معادل سازند پرکامبرین بایندر، ریزچین‌هایی با میل عمومی محور آن‌ها به سمت جنوب‌بادختر برداشت شده است (شکل ۷ و جدول ۶). این چین‌خوردگی‌ها که در دو بخش عمدتاً شیلی (ریزچین‌ها) و آهکی (ناودیس‌ها) برداشت شده‌اند متأثر از فرایند کوتاه‌شدنگی و برخاستگی درونهشته توسعه یافته و اختلاف در روند آن‌ها (مقایسه جدول‌های ۴، ۵ و ۶) ناشی از اختلاف رئولوژیکی این واحدهای سنگی در خلال دگریختی ناحیه‌ای گسل‌های بنیادین مرز درونهشته (عنبران، سروآباد و RF1) است.

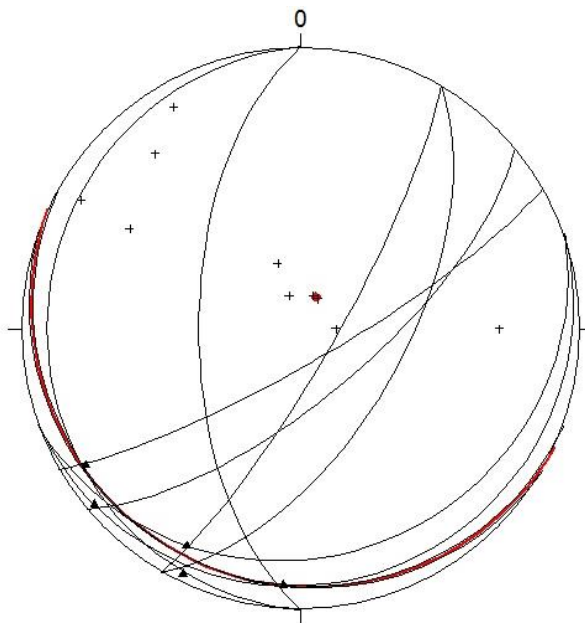
۱. Fleuty

جدول ۵. مشخصات هندسی چین‌خوردگی‌های ناوفرم F1 و F2

نام ساختار	پهلوی شمالی	پهلوی جنوبی	میانگین محور	میانگین سطح محوری	زاویه بین دو پهلوی چین
F1	۲۰/۰۱۰	۳۰/۲۰۰	۴/۲۸۵	۸۴/۰۱۶	۱۳۰
F2	۲۰/۱۶۰	۳۰/۳۳۰	۴/۲۴۴	۸۵/۱۵۴	۱۲۰

جدول ۶. ویژگی‌های هندسی ریزچین‌های اندازه‌گیری شده در بخش مرکزی درونهشته

نام ساختار	یال عادی چین	یال برگشته چین	محور چین	سطح محوری	زاویه بین یالی
چین شماره ۱	۱۰/۱۶۰	۷۰/۱۴۰	۴/۲۳۰	۴۸/۳۱۸	۷۰
چین شماره ۲	۱۰/۲۱۰	۶۰/۲۷۰	۱۰/۱۸۵	۶۰/۱۰۰	۵۸
چین شماره ۳	۲۰/۱۶۰	۸۰/۱۲۰	۱۲/۲۱۸	۴۲/۲۸۸	۶۵
چین شماره ۴	10/200	۸۰/۱۵۰	۰/۲۴۰	۴۸/۳۲۲	۷۴
چین شماره ۵	۱۰/۲۷۰	۶۰/۱۲۰	۰/۶۰۸	۶۴/۲۹۵	۷۰
چین شماره ۶	۱۰/۱۶۰	۸۰/۱۵۰	۴/۲۳۰	۱۰/۳۲۰	۶۵



شکل ۷. تصویر استریوگرافی از موقعیت محور و سطح محوری ریزچین‌های برداشت شده در منطقه بر اساس داده‌های جدول ۱، به قرار گیری محور ریزچین‌ها بر روی دایره بزرگ دقت شود.

### بحث و نتیجه‌گیری

بررسی برش‌های عرضی رسم شده نشان می‌دهد که در اثر عمل کرد گسل‌های معکوس عنبران در بخش شمال شرقی و RF1 در بخش جنوب‌غربی درونهشته عنبران، واحدهای قبل از کرتاسه به صورت تاقفرم بالا

جسته بهترتیب در شمال شرقی بر روی واحدهای ولکانیکی جوان ائوسن و در جنوب غرب بر روی آهکهای کرتاسه قرار گرفته‌اند. واحدهای ولکانیکی جوان ائوسن در بخش شمال شرقی گسل عنبران تا ناحیه خزر ادامه داشته و رخنمونی از واحدهای دیگر در هیچ بخشی از آن مشاهده نشده است و اطلاعاتی هم از واحدهای عمقی و زیرین آن‌ها در دست نیست. وجود واحدهای آهکی ضخیم لایه در بخش جنوب غربی گسل عنبران را می‌توان به سازوکار کشنشی گسل در زمان نهشته شدن این واحدها نسبت. علاوه بر این گسل‌های اصلی که مرزهای درونهشته را نشان می‌دهند. گسل‌های راستالغز پراکنده‌ای در درونهشته، متأثر از دگرگشکی جوان‌تر از گسل‌شش عنبران و RF1 توسعه یافته‌اند. سازوکار معکوس گسل پرشیب عنبران و جایگیری نهشته‌های کرتاسه در فرادیواره آن می‌تواند شاهدی بر عمل کرد گسل عنبران بهصورت گسل مرزی کنترل کننده گسترش حوضه رسوی کرتاسه در جنوب آن باشد. گرچه واحدهای بخش شمال شرقی گسل تا ناحیه خزر بهطور کامل پوشیده از واحدهای آتش فشانی ائوسن است و رخنمونی از واحدهای دیگر در هیچ بخشی از آن مشاهده نشده است و لیکن با توجه به شواهد بدست آمده از البرز مرکزی که بهغیر از فرادیواره گسل‌های بنیادین مانند مشا (یساقی و معدن‌پور، ۲۰۰۸) در بقیه مناطق نهشته‌های ائوسن بر روی نهشته‌های ژوراسیک شمشک قرار گرفته است چنین تحلیل شده که در منطقه پژوهش نیز عمل کردی یکسان داشته باشد. به همین سبب، چنین توزیعی از واحدهای سنگی دو طرف گسل بیان‌گر عمل کرد آن بهصورت نرمال در زمان کرتاسه است. در اثر حرکت نرمال و پایین‌افتادگی فرادیواره حوضه رسوی مناسبی در بخش جنوب غربی آن ایجاد شده، که باعث رسوپگذاری واحدهای آهکی کرتاسه بهطور محلی و در فرادیواره گسل شده است. با تغییر رژیم زمین‌ساختی، از کششی به فشارشی در میوسن آلن و همکاران (۲۰۰۳)، گسل عنبران تغییر سازوکار داده و بهصورت معکوس عمل کرده است و واحدهای آهکی نهشته شده را در فرادیواره بالا رانده است. این وارون شدگی زمین‌ساختی گسل عنبران، با توسعه گسل پس‌راند فرادیواره‌ای RF1 همراه شده و توانسته موجب ساختار بالاجسته‌ای مابین این دو گسل، جایی که نهشته‌های معادل سازنده‌ای پرکامبرین بایندر و سلطانیه را به سطح رانده، شود. یساقی و معدن‌پور (۲۰۰۸) نیز مشابه چنین ساختار بالاجسته‌ای در البرز مرکزی و در محدوده بین گسل مشا و طالقان را تحلیل کرده‌اند.

## منابع

۱. س. معدن‌پور، تحلیل هندسی و جنبشی ساختارهای منطقه کوههای طالقان، پایان‌نامه دوره کارشناسی ارشد، دانشگاه تربیت مدرس (۱۳۸۶).
2. M. Alavi, "Tectonostratigraphic synthesis and structural style of alborz mountain system in northern Iran", Journal of Geodynamics, V.21,133 (1996).
3. M. B. Allen, M. R. Ghassemi, M. Shahrabi, M. Qorashi, "Accommodation of late Cenozoic oblique shortening in the alborz range, northern Iran", J. struct. Geol., 25 (2003a) 659-672.

4. B. Guest, G. J. Axen, P. S. Lam, J. Hassanzadeh, "Late Cenozoic shortening in the west-central Alborz Mountain, northern Iran, by combined conjugate strike slip and thin skinned deformation", *Geosphere*, V.2, No.1(2006) 35-52.
5. J. Stocklin, "Nortehrn Iran:Alborz Mountains, in Spencer, A.M., ed., Mesozoic-Cenozoic orgoenic belts; data for orogenic studies", *Alpine Himalayan* (1974).
6. A. Yassaghi, "Inversion tectonics in centeral Alborz Range", European union of Geoscience (EUG XI), Abstract. Symposium Ls05 (2001).
7. A. Yassaghi, "The effect of deep-seated transverse fault on sturactural evolution of west-central alborz mountain", *Geophysical Resarch abstract*, Vol. 7 (2005).
8. A. Yassaghi, S. Madanipour, "Influnce of a transverse basement fault on along strike variation in the geometry of an inverted normal fault: Case study of the Mosha fault, central Alborz Rang, Iran", *Journal of structural Geology*, Article in press (2008).
9. A. Zanchi, F. Berra, M. Mattei, M. R. Ghassemi, J. Sabouri, "Inversion tectonics in central Alborz, Iran", *Jn. Sturactural Geology*, Article in (2006).